

# Aplicación de MATLAB® en el análisis de circuitos de RF

**Propagación y Radiación**

Universidad Nacional del Sur

3 de mayo de 2023



# Contenidos

- 1 Introducción
- 2 Adaptación de impedancias:  
transformador de  $\lambda/4$
- 3 Adaptación de impedancias:  
elementos concentrados
- 4 Adaptación de impedancias:  
stub simple y doble

Sección 1

# Introducción

# Ejemplo de aplicación

## Trabajo Práctico 3, Ejercicio 6

Dados los siguientes tres elementos (concentrados):

$$R = 300 \, \Omega, \, L = 2.2 \, \mu\text{Hy}, \, C = 3 \, \text{pF}$$

representar en el ábaco la impedancia vista en terminales (suponiendo que se conectan a una línea de  $Z_0 = 50 \, \Omega$ ) tomando 5 puntos entre 50 y 700 MHz, conectando dichos elementos en a) serie y b) paralelo.

$$Z_s = \frac{-\omega^2 LC + j\omega RC + 1}{j\omega C} \quad (1)$$

$$Z_p = \frac{j\omega L}{-\omega^2 LC + j\omega \frac{L}{R} + 1} \quad (2)$$

# Ejemplo de aplicación

## Trabajo Práctico 3, Ejercicio 6

Dados los siguientes tres elementos (concentrados):

$$R = 300 \, \Omega, \, L = 2.2 \, \mu\text{Hy}, \, C = 3 \, \text{pF}$$

representar en el ábaco la impedancia vista en terminales (suponiendo que se conectan a una línea de  $Z_0 = 50 \, \Omega$ ) tomando 5 puntos entre 50 y 700 MHz, conectando dichos elementos en a) serie y b) paralelo.

$$Z_s = \frac{-\omega^2 LC + j\omega RC + 1}{j\omega C} \quad (1)$$

$$Z_p = \frac{j\omega L}{-\omega^2 LC + j\omega \frac{L}{R} + 1} \quad (2)$$

# Ejemplo de aplicación

## Trabajo Práctico 3, Ejercicio 6

Dados los siguientes tres elementos (concentrados):

$$R = 300 \, \Omega, \, L = 2.2 \, \mu\text{Hy}, \, C = 3 \, \text{pF}$$

representar en el ábaco la impedancia vista en terminales (suponiendo que se conectan a una línea de  $Z_0 = 50 \, \Omega$ ) tomando 5 puntos entre 50 y 700 MHz, conectando dichos elementos en a) serie y b) paralelo.

$$Z_s = \frac{-\omega^2 LC + j\omega RC + 1}{j\omega C} \quad (1)$$

$$Z_p = \frac{j\omega L}{-\omega^2 LC + j\omega \frac{L}{R} + 1} \quad (2)$$

## Solución tradicional

Se realiza una tabla con determinadas frecuencias y se calcula el valor de las impedancias serie  $Z_s$  y paralelo  $Z_p$ .

$f[\text{MHz}]$	$Z_s$	$Z_p$
100	$300 + j852$	$267 - j93$
200	$300 + j2500$	$146 - j149$
300	$300 + j3970$	$82 - j134$
400	$300 + j5397$	$51 - j112$
500	$300 + j6805$	$34 - j95$

## Solución tradicional

Se normalizan las impedancias considerando la  $Z_0$  y se grafican en el ábaco.

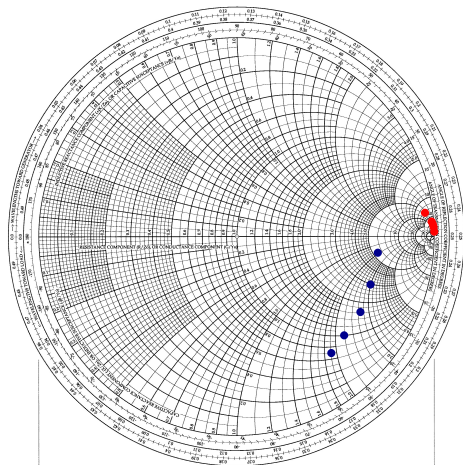
$f[\text{MHz}]$	$z_s$	$z_p$
100	$6 + j17$	$5.3 - j1.9$
200	$6 + j50$	$2.9 - j3$
300	$6 + j79$	$1.6 - j2.7$
400	$6 + j108$	$1 - j2.2$
500	$6 + j136$	$0.7 - j1.9$



# Solución tradicional

Se normalizan las impedancias considerando la  $Z_0$  y se grafican en el ábaco.

$f$ [MHz]	$z_s$	$z_p$
100	$6 + j17$	$5.3 - j1.9$
200	$6 + j50$	$2.9 - j3$
300	$6 + j79$	$1.6 - j2.7$
400	$6 + j108$	$1 - j2.2$
500	$6 + j136$	$0.7 - j1.9$

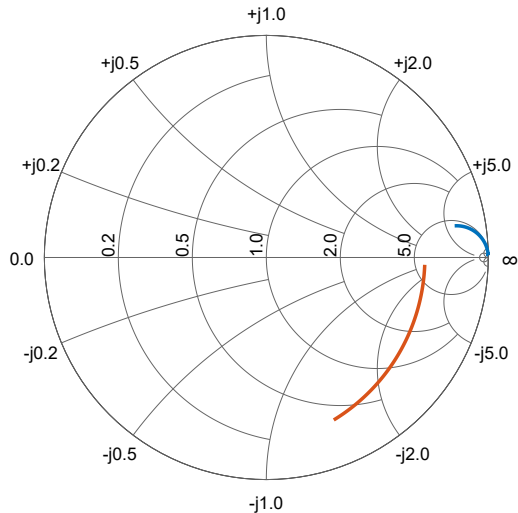


# Solución utilizando MATLAB

```
1 R = 300; L = 2.2e-6;  
2 C = 3e-12; Z0 = 50;  
3 f = 75e6:1e6:700e6;  
4 XL = 1i*2*pi.*f*L;  
5 XC = -1i./(2*pi.*f*C);  
6 % Cálculo de impedancias  
7 Zs = R + XL + XC;  
8 Zp = 1./(1/R + 1./XL + 1./XC);  
9 % Conversión y gráficos  
10 G1 = z2gamma (Zs,Z0);  
11 G2 = z2gamma (Zp,Z0);  
12 h1 = smithchart(G1); hold on  
13 h2 = smithchart(G2);
```

# Solución utilizando MATLAB

```
1 R = 300; L = 2.2e-6;  
2 C = 3e-12; Z0 = 50;  
3 f = 75e6:1e6:700e6;  
4 XL = 1i*2*pi.*f*L;  
5 XC = -1i./(2*pi.*f*C);  
6 % Cálculo de impedancias  
7 Zs = R + XL + XC;  
8 Zp = 1./(1/R + 1./XL + 1./XC);  
9 % Conversión y gráficos  
10 G1 = z2gamma (Zs,Z0);  
11 G2 = z2gamma (Zp,Z0);  
12 h1 = smithchart(G1); hold on  
13 h2 = smithchart(G2);
```



# Solución utilizando MATLAB

- La función `G = z2gamma(z,z0)` convierte la impedancia  $z$  en el coeficiente de reflexión  $G$ , utilizando la impedancia de referencia  $z_0$  de acuerdo a la ecuación:

$$\Gamma = \frac{Z - Z_0}{Z + Z_0} \quad (3)$$

- La función `hsm = smithchart(G)` grafica el vector complejo del coeficiente de reflexión  $G$  en el ábaco de Smith. En `hsm` se guarda el *handle* que permite cambiar las propiedades de la figura, como el color y ancho del trazo, definir marcadores, etc.

# Adaptación de impedancias: esquema general

En los sistemas de RF la condición de diseño ideal se obtiene cuando:

- La carga está adaptada a la línea de transmisión para evitar pérdidas en la onda reflejada y tensiones elevadas por ondas estacionarias (bajar el ROE).
- Cuando el generador está adaptado a la línea de transmisión para transferir la máxima potencia.
- Para lograr el objetivo se intercalan redes adaptadoras sin pérdidas en ambos extremos de la línea.

# Adaptación de impedancias: esquema general

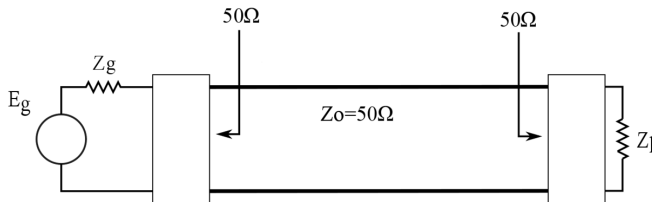
En los sistemas de RF la condición de diseño ideal se obtiene cuando:

- La carga está adaptada a la línea de transmisión para evitar pérdidas en la onda reflejada y tensiones elevadas por ondas estacionarias (bajar el ROE).
- Cuando el generador está adaptado a la línea de transmisión para transferir la máxima potencia.
- Para lograr el objetivo se intercalan redes adaptadoras sin pérdidas en ambos extremos de la línea.

# Adaptación de impedancias: esquema general

En los sistemas de RF la condición de diseño ideal se obtiene cuando:

- La carga está adaptada a la línea de transmisión para evitar pérdidas en la onda reflejada y tensiones elevadas por ondas estacionarias (bajar el ROE).
- Cuando el generador está adaptado a la línea de transmisión para transferir la máxima potencia.
- Para lograr el objetivo se intercalan redes adaptadoras sin pérdidas en ambos extremos de la línea.



Sección 2

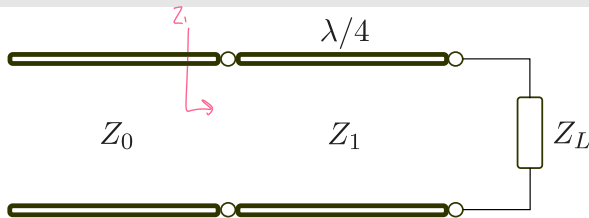
## **Adaptación de impedancias: transformador de $\lambda/4$**



# Adaptación: transformador de $\lambda/4$

## Trabajo Práctico 5, Ejercicio 6

Diseñar un transformador de  $\lambda/4$  para adaptar una antena de  $75\ \Omega$  a una línea sin pérdidas de  $Z_0 = 50\ \Omega$ . Determinar el ancho de banda para que el ROE no sea mayor a 1.3, siendo  $f_0 = 60\ \text{MHz}$ .



## Adaptación: transformador de $\lambda/4$

La impedancia de entrada  $Z_{in}$  desde el punto de conexión entre las líneas  $Z_0$  y  $Z_1$  se puede encontrar con

$$Z_{in} = Z_1 \frac{Z_L + jZ_1 \tan \beta l}{Z_1 + jZ_L \tan \beta l} \quad (4)$$

Evalutando  $\beta l$  en la frecuencia de diseño,  $\beta l = \frac{2\pi}{\lambda} \frac{\lambda}{4} = \frac{\pi}{2}$ , e igualando a  $Z_0$  resulta en

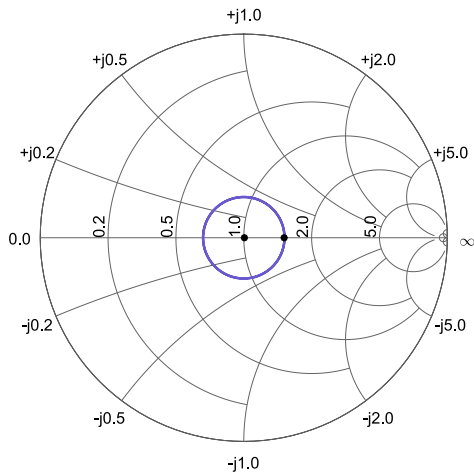
$$\beta l = \frac{2\pi f}{v_p} \frac{\lambda_0}{4} = \quad Z_1 = \sqrt{Z_0 Z_L} \quad (5)$$

Reescribiendo  $\beta l$  como  $\beta l = \frac{2\pi f}{v_p} \frac{\lambda_0}{4} = \frac{\pi f}{2f_0}$  y utilizando la ecuación (4) se puede evaluar la respuesta en frecuencia del transformador.

# Adaptación: transformador de $\lambda/4$

**Impedancia de entrada sin adaptar  
(sección  $Z_0$  y carga  $Z_L$ )**

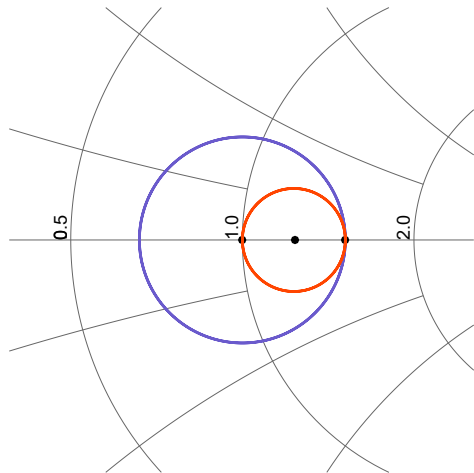
```
1 f = 60e6;  
2 Z0 = 50;  
3 ZL = 75;  
4 Z1 = sqrt(Z0*ZL);  
5 f_f0 = 0:1e-3:4;  
6 theta = pi/2*f_f0;  
7 % Impedancia Zin sin adaptar  
8 Zin_0 = Z0*(ZL+1i*Z0*tan(theta)) ...  
    ./(Z0+1i*ZL*tan(theta));  
9 GZin_0 = z2gamma(Zin_0);  
10 h1 = smithchart(GZin_0);
```



# Adaptación: transformador de $\lambda/4$

**Impedancia de entrada sin adaptar  
(sección  $Z_1 = 61.2\Omega$  y carga  $Z_L$ )**

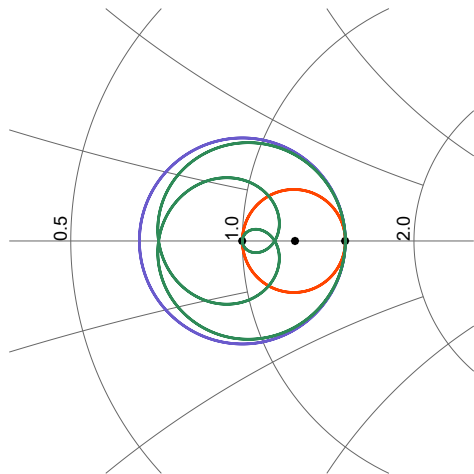
```
1 Zin_1 = Z1*(ZL+1i*Z1*tan(theta)) ...  
  ./ (Z1+1i*ZL*tan(theta));  
2 GZin_1 = z2gamma(Zin_1);  
3 h2      = smithchart(GZin_1);
```



# Adaptación: transformador de $\lambda/4$

**Impedancia de entrada adaptada  
(secciones  $Z_0$ ,  $Z_1$  y carga  $Z_L$ )**

```
1 Zin_2 = ...  
    Z0*(Zin_1+1i*Z0*tan(theta)) ...  
    ./ (Z0+1i*Zin_1.*tan(theta));  
2 GZin_2 = z2gamma(Zin_2);  
3 h3      = smithchart(GZin_2);
```



## Adaptación: transformador de $\lambda/4$

Se pide determinar el ancho de banda para  $ROE < 1.3$ . La Relación de Onda Estacionaria (ROE) se define como

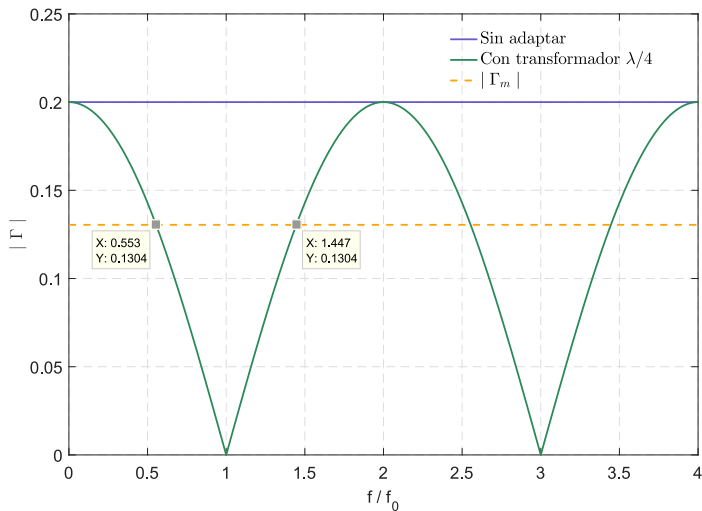
$$ROE = \frac{1 + |\Gamma_m|}{1 - |\Gamma_m|} \quad (6)$$

A partir de (6) se puede despejar el módulo del máximo coeficiente de reflexión permitido  $|\Gamma_m|$ :

$$|\Gamma_m| = \frac{ROE - 1}{ROE + 1} \quad (7)$$

El ancho de banda se puede encontrar de forma gráfica, encontrando la intersección entre el coeficiente de reflexión de  $Z_{in}$  y el valor máximo  $|\Gamma_m|$ .

# Adaptación: transformador de $\lambda/4$



## Adaptación: transformador de $\lambda/4$

De forma analítica, la frecuencia límite inferior del ancho de banda se puede obtener con

$$f_m = \frac{2\theta_m f_0}{\pi} \quad (8)$$

donde  $\theta = \beta l$ , y

$$\theta_m = \arccos \left( \frac{\Gamma_m}{\sqrt{1 - \Gamma_m^2}} \frac{2\sqrt{Z_0 Z_L}}{|Z_L - Z_0|} \right) \quad (9)$$

Para el ejercicio planteado:

$$\theta_m = 0.87, f_m = 0.554f_0 = 33.24 \text{ MHz}, \Delta f = 2(f_0 - f_m) = 53.5 \text{ MHz}.$$

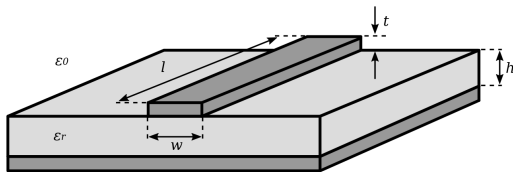


# Adaptación: transformador de $\lambda/4$

## Tarea 1

- Diseñe un transformador de  $\lambda/4$  para adaptar una carga  $Z_L = 300 \Omega$  a una línea de  $Z_0 = 50 \Omega$ , y grafique el módulo del coeficiente de reflexión en dB en función de la frecuencia. Encuentre el AB para el cual el mismo se mantiene por debajo de  $-10$  dB.
- Diseñe un transformador de  $\lambda/4$  para una impedancia de carga de  $100 \Omega$ , determine el AB en este segundo diseño y compare los resultados con los de la carga de  $300 \Omega$ .

# Implementación de un transformador de $\lambda/4$ en microstrip



Para implementar una línea microstrip en MATLAB se utiliza la siguiente sintaxis:

```
1 tx = rfckt.microstrip('Width',W,'Height',h,'Thickness',t,  
2 'EpsilonR',er,'LossTangent',tanD,'LineLength',l,'SigmaCond',sigma);
```

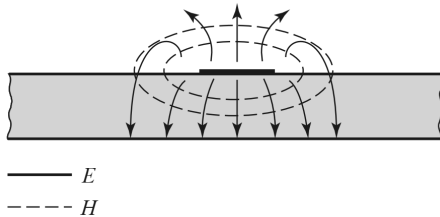
# Implementación de un transformador de $\lambda/4$ en microstrip

Los parámetros del sustrato FR4 que se usará para implementar la línea microstrip son:

- Altura del sustrato,  $h = 1.5$  mm.
- Espesor del cobre,  $t = 35$   $\mu$ m.
- Constante dieléctrica efectiva,  $\epsilon_e \approx 3.2$
- Tangente del ángulo de pérdidas,  $\delta = 0.01$ .
- Conductividad del cobre,  $\sigma = 5.85 * 10^7$  S/m.

# Implementación de un transformador de $\lambda/4$ en microstrip

La constante dieléctrica efectiva  $\epsilon_e$  de la línea microstrip es un valor que se encuentra entre  $1 < \epsilon_e < \epsilon_r$ , debido a que algunas líneas de campo se encuentran en el aire y otras en el dieléctrico.



$$\epsilon_{eff} = \frac{\epsilon_r + 1}{2} + \frac{\epsilon_r - 1}{2} \frac{1}{\sqrt{1 + \frac{12h}{W}}} \quad (10)$$

# Implementación de un transformador de $\lambda/4$ en microstrip

Si se desea sintetizar un tramo de línea con impedancia  $Z_0$ , se deben resolver las siguientes ecuaciones:

$$A = \frac{Z_0}{60} \sqrt{\frac{\epsilon_r + 1}{2}} + \frac{\epsilon_r - 1}{\epsilon_r + 1} \left( 0.23 + \frac{0.11}{\epsilon_r} \right) \quad (11)$$

$$B = \frac{377\pi}{2Z_0\sqrt{\epsilon_r}} \quad (12)$$

$$\frac{W}{h} = \begin{cases} \frac{8e^A}{e^{2A} - 2} & \text{para } W/h < 2 \\ \frac{2}{\pi} \left\{ B - 1 - \ln(2B - 1) + \frac{\epsilon_r - 1}{2\epsilon_r} \left[ \ln(B - 1) + 0.39 - \frac{0.61}{\epsilon_r} \right] \right\} & \text{para } W/h > 2 \end{cases} \quad (13)$$

# Implementación de un transformador de $\lambda/4$ en microstrip

## Ejemplo

Se requiere adaptar una carga  $Z_L = 100 \, \Omega$  con un transformador  $\lambda/4$  a una línea de impedancia característica  $Z_0 = 50 \, \Omega$ , para operar en una frecuencia  $f_0 = 1 \, \text{GHz}$ .

$$Z_1 = \sqrt{Z_0 Z_L} = 70.7 \, \Omega$$

- Luego de calcular el ancho de los segmentos microstrip para  $Z_0$  y  $Z_1$ , se generan los objetos `rfckt.microstrip` con los parámetros dados.
- El método `getz0` permite verificar la impedancia característica de cada línea de transmisión.

# Implementación de un transformador de $\lambda/4$ en microstrip

- Para modelar la carga  $Z_L$ , se crea un objeto de la clase `rfckt.seriesrlc`.
- Es necesario aplicar el método `analyze` a cada objeto circuital creado, y de esta forma obtener sus parámetros S. Por definición, cuando se mide el parámetro  $S_{11}$  el puerto 2 se debe terminar en la impedancia característica. Entonces, cuando se define la carga  $Z_L$  se hace con la siguiente expresión:

```
1 Zload = rfckt.seriesrlc('R',ZL-Z0);
```

Y se generan los parámetros S con:

```
1 f = 0.5e9:1e6:1.5e9;  
2 analyze(Zload,f);
```

# Implementación de un transformador de $\lambda/4$ en microstrip

Luego es necesario combinar todos los elementos (en orden, desde el generador a la carga) generando un objeto del tipo `rfckt.cascade` y analizar el conjunto:

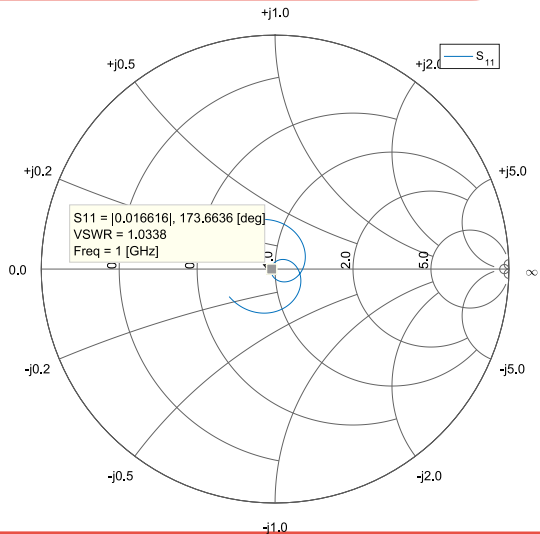
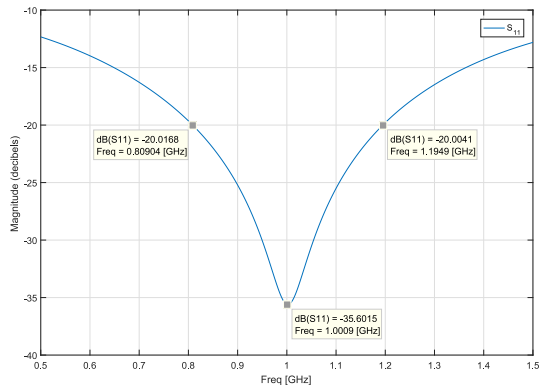
```
1 trafo = rfckt.cascade('Ckts',{tx0,tx1,Zload});  
2 analyze(trrafo,f);
```

Por último, se puede graficar el parámetro  $S_{11}$  en el ábaco de Smith o su módulo en función de la frecuencia. El método `listformat` brinda una lista de los formatos válidos para cada parámetro.

```
1 % listformat(trrafo,'S11')  
2 plot(trrafo,'S11','dB');  
3 smith(trrafo,'S11','dB');
```



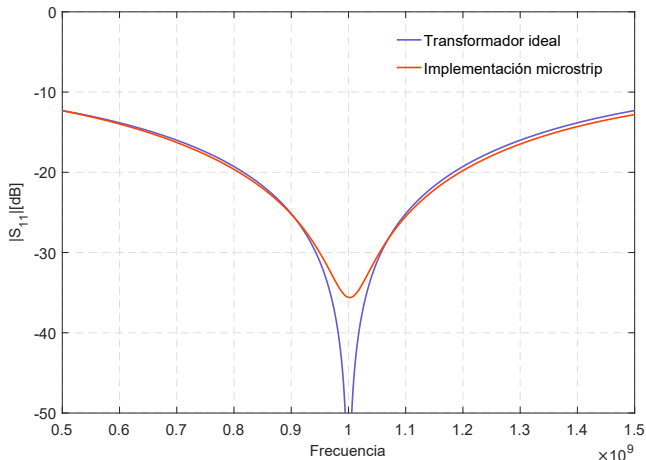
# Implementación de un transformador de $\lambda/4$ en microstrip



# Implementación de un transformador de $\lambda/4$ en microstrip

También se puede realizar la adaptación ideal como en la Sección 2 y comparar ambas curvas. Los datos del objeto pueden extraerse y manipularse con otros datos mediante

```
1 [S_Par, f] = extract ...  
   (trafo, 'S_Parameters');
```



## Sección 3

# **Adaptación de impedancias: elementos concentrados**

# Adaptación: elementos concentrados

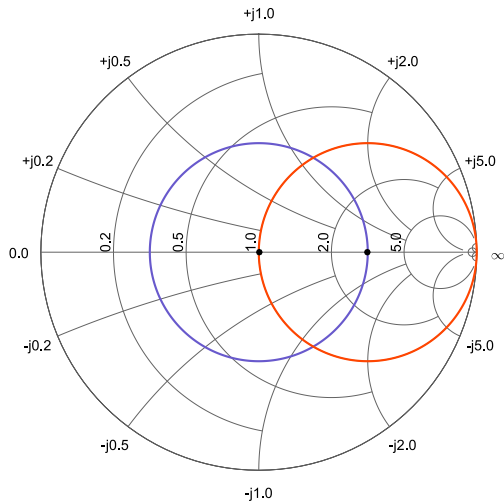
## Trabajo Práctico 5, Ejercicio 1

Sea una L.T. sin pérdidas,  $Z_0 = 50 \, \Omega$ ,  $Z_R = 150 \, \Omega$ , gobernada por una fuente de frecuencia constante, utilizando:

- Un condensador.
- Una bobina.
- Un stub en corto circuito.
- Un stub en circuito abierto.

# Adaptación: elementos en serie

```
1 Z0 = 50;  
2 ZL = 150;  
3 GZL = z2gamma(ZL,Z0);  
4 % Genero un objeto donde graficar  
5 adapt = rfckt.passive;  
6 % Frecuencia de diseño  
7 f0 = 100e6;  
8 figure  
9 [h1,hsm] = circle (adapt,f0, ...  
    'Gamma',abs(GZL),'R',1);  
10 hold on
```



## Adaptación: elementos en serie

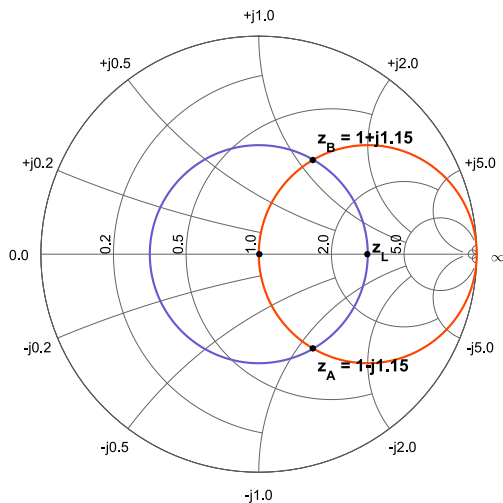
Utilizando la función `imped_match_find_circle_intersections_helper` se puede encontrar los puntos de intersección entre dos círculos, ingresando las coordenadas del centro de cada círculo y sus radios.

```
1 [ptA,ptB] = imped_match_find_circle_intersections_helper([0 0], ...  
2     abs(GZL),[0.5 0],0.5);  
3 ptA_mag = sqrt(ptA(1)^2 + ptA(2)^2);  
4 ptA_ang = atan2(ptA(2),ptA(1));  
5 ptB_mag = sqrt(ptB(1)^2 + ptB(2)^2);  
6 ptB_ang = atan2(ptB(2),ptB(1));  
7  
8 GZA = ptA_mag*exp(1j*ptA_ang);  
9 ZA = gamma2z (GZA,Z0);  
10 GZB = ptB_mag*exp(1j*ptB_ang);  
11 ZB = gamma2z (GZB,Z0);
```

# Adaptación: elementos en serie

Los puntos encontrados pueden destacarse mediante marcadores y anotaciones dentro del ábaco.

```
1 % Marcador ZA
2 plot(ptA(1),ptA(2), ...
    'k.', 'MarkerSize', 16);
3 % Marcador ZB
4 plot(ptB(1),ptB(2), ...
    'k.', 'MarkerSize', 16);
5 % Anotacion ZL
6 text (real(GZL) +.02, imag(GZL) ...
    +.02, 'z_L', 'FontSize', 12, ...
    'FontWeight', 'Bold');
```



## Adaptación con C en serie

Elijo el punto  $z_B$ , ya que la reactancia agregada por el capacitor en serie es negativa.

$$X_C = \text{Im}(Z_B) \quad (14)$$

$$C_s = \frac{1}{2\pi f_0 X_C} = 27.6 \text{ pF} \quad (15)$$

Para alcanzar ese punto, se debe agregar una línea con impedancia  $Z_0$  que produzca un cambio de fase  $\theta_{LB} = \theta_{ZL} - \theta_{ZB} = 5.236 \text{ rad}$ .

En longitudes de onda,

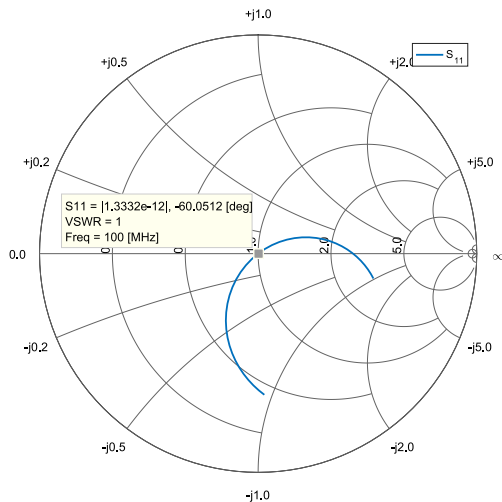
$$\lambda_{LB} = \frac{\theta_{LB}}{4\pi} \lambda = 0.417 \lambda \quad (16)$$



# Implementación con C en serie

Se generan los objetos necesarios: la carga, una línea de transmisión genérica `rfckt.txline` y el capacitor serie.

```
1 f      = 0.8*f0:1e6:1.2*f0;
2 Zload = rfckt.seriesrlc('R',ZL-Z0);
3 tx1    = rfckt.txline('Z0',Z0, ...
    'LineLength',lB_metros,'PV',vp)
4 Cs     = rfckt.seriesrlc('C',C);
5 analyze(Zload,f);
6 analyze(tx1,f);
7 analyze(Cs,f);
8 AdaptCs = rfckt.cascade('Ckts', ...
    {Cs,tx1,Zload});
9 analyze(AdaptCs,f);
```



## Adaptación con L en serie

En este caso elijo el punto  $z_A$ , ya que la reactancia agregada por el inductor en serie es positiva.

$$X_L = \text{Im}(Z_A) \quad (17)$$

$$L_s = \frac{X_L}{2\pi f_0} = 91.9 \text{ nH} \quad (18)$$

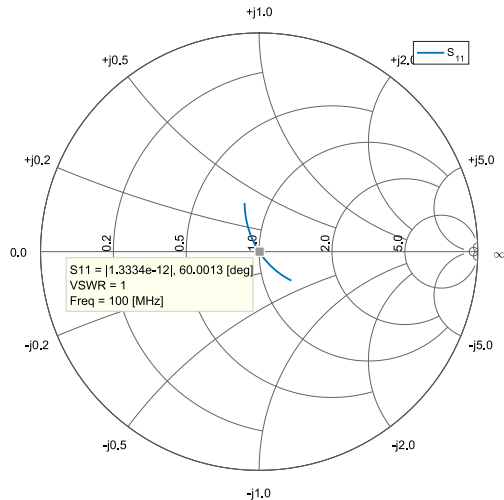
Para alcanzar ese punto, se debe agregar una línea con impedancia  $Z_0$  que produzca un cambio de fase  $\theta_{LA} = \theta_{ZL} - \theta_{ZA} = 1.047 \text{ rad}$ .

En longitudes de onda,

$$\lambda_{LA} = \frac{\theta_{LA}}{4\pi} \lambda = 0.083 \lambda \quad (19)$$

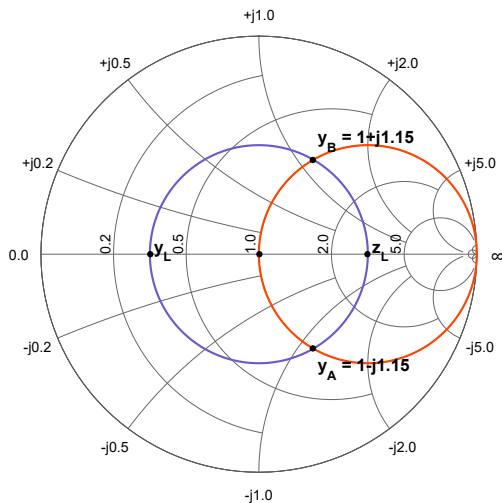
# Implementación con L en serie

```
1 tx2 = rfckt.txline ('Z0',Z0, ...  
    'LineLength',lA_metros,'PV',vp)  
2 Ls = rfckt.seriesrlc('L',L);  
3 analyze(tx2,f);  
4 analyze(Ls,f);  
5 AdaptLs = rfckt.cascade('Ckts', ...  
    {Ls,tx2,Zload});  
6 analyze(AdaptLs,f);
```



# Adaptación: elementos en paralelo

Al trabajar con elementos en paralelo utilizaremos la carta de Smith como carta de admitancias, transformando la impedancia  $z_L$  en la admitancia  $y_L$ . Siguiendo el mismo procedimiento, se grafican el círculo de  $|\Gamma_L|$  constante y el de resistencia  $R = 1$ . Las intersecciones serán las mismas, pero en este caso admitancias ( $y_A$  e  $y_B$ ).



## Adaptación con C en paralelo / L en paralelo

CAP: Elijo el punto  $y_A$ , ya que la susceptancia agregada por el capacitor en paralelo es positiva. Desnormalizo para obtener  $Y_A$ .

IND: Sucede lo contrario, elijo el punto  $y_B$  y desnormalizo.

$$B_C = \text{Im}(Y_A)$$

$$C_p = \frac{B_C}{2\pi f_0} = 36.7 \text{ pF}$$

$$B_L = \text{Im}(Y_B)$$

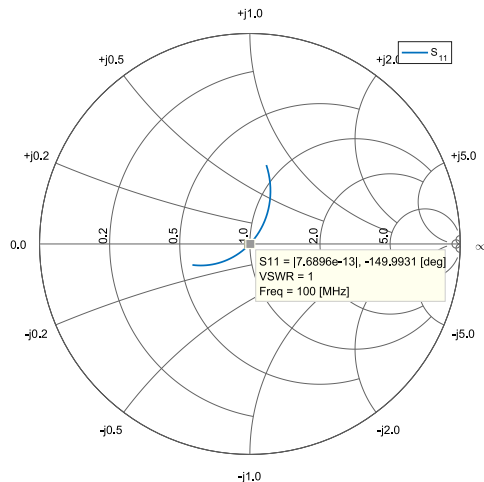
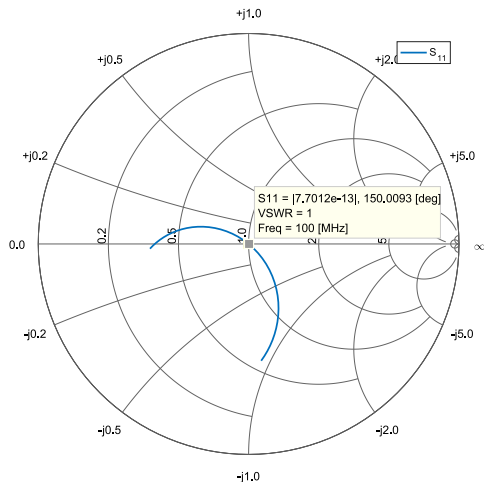
$$L_p = \frac{1}{2\pi f_0 B_L} = 68.9 \text{ nH}$$

El cambio de fase en longitudes de onda es el mismo que en el caso de adaptación serie, con una diferencia de  $\lambda/4$ , porque se utilizó la  $y_L$ .

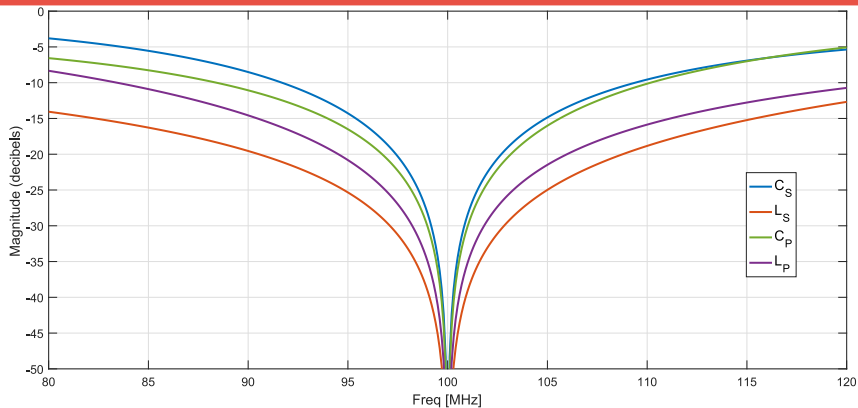
$$\lambda_{LA} = 0.333 \lambda$$

$$\lambda_{LB} = 0.167 \lambda$$

# Implementación con C en paralelo / L en paralelo



# Comparativa



$C_s$	$L_s$	$C_p$	$L_p$	$\lambda_{C_s}$	$\lambda_{L_s}$	$\lambda_{C_p}$	$\lambda_{L_p}$
27.6 pF	91.9 nH	36.7 pF	68.9 nH	$0.417 \lambda$	$0.083 \lambda$	$0.333 \lambda$	$0.167 \lambda$

## Sección 4

# **Adaptación de impedancias: stub simple y doble**



# Adaptación: stub simple en paralelo

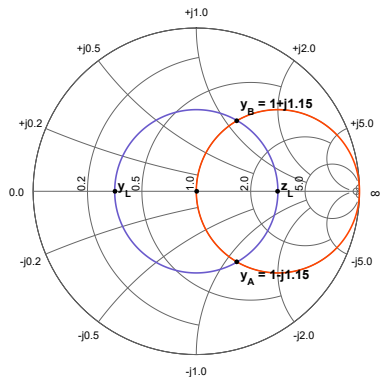
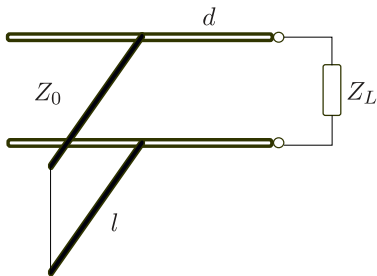
## Trabajo Práctico 5, Ejercicio 1

Sea una L.T. sin pérdidas,  $Z_0 = 50 \, \Omega$ ,  $Z_R = 150 \, \Omega$ , gobernada por una fuente de frecuencia constante, utilizando:

- Un condensador.
- Una bobina.
- Un stub en corto circuito.
- Un stub en circuito abierto.

## Adaptación: stub simple en paralelo

Al trabajar con stub en paralelo se utilizará la carta de admitancias nuevamente. Las admitancias  $y_A$  e  $y_B$  en las intersecciones de los círculos son las mismas que para los elementos concentrados en paralelo, la distancia  $d$  a la carga en cada caso son  $\lambda_A = 0.333 \lambda$  y  $\lambda_B = 0.167 \lambda$ , respectivamente.



# Adaptación: stub simple en paralelo

La longitud del stub se elige para anular la parte imaginaria de la solución elegida.

- 1 Primera solución ( $y_A$ ): La admitancia del stub  $y_{SA} = -\text{Im}(y_A) = j1.15$ .
- 2 Segunda solución ( $y_B$ ): La admitancia del stub  $y_{SB} = -\text{Im}(y_B) = -j1.15$ .

La susceptancia obtenida se puede graficar con:

```
1 ySA      = 1-yA;  
2 [h2,hsm] = circle(adapt,f0,'X',imag(ySA));
```

De acuerdo a la terminación del stub, en circuito abierto o cortocircuito, existen dos alternativas de stub para cada solución.

# Adaptación: stub simple, 1º solución, CC

## Longitud del stub

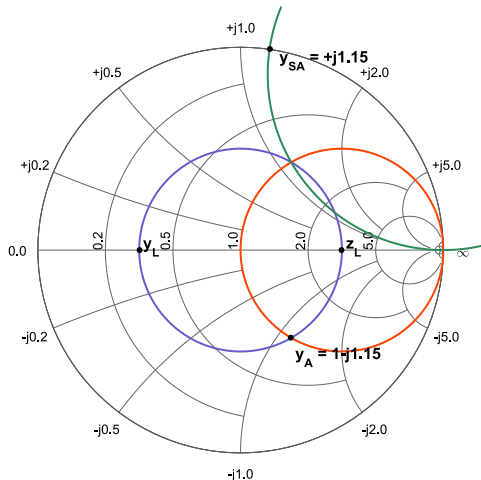
- Para el stub en cortocircuito, el cambio de fase

$$\theta_{SA-CC} = \theta_{CC} - \theta_{SA} = 4.856 \text{ rad.}$$

Tener en cuenta que al ser la carta de admitancias, el cortocircuito se encuentra en  $y = \infty$

- En longitudes de onda:

$$\lambda_{SA-CC} = 0.386 \lambda$$



## Adaptación: stub simple, 1º solución, CC

### Longitud del stub

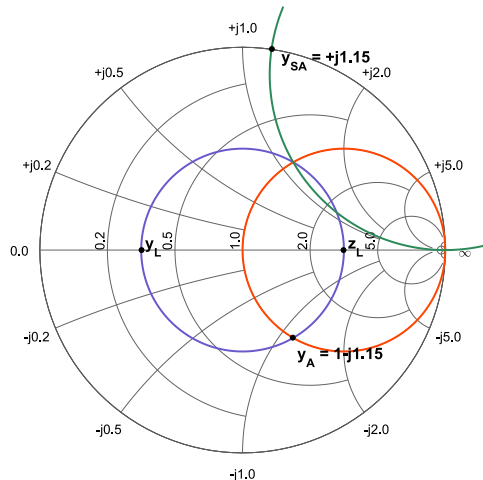
- Para el stub en cortocircuito, el cambio de fase

$$\theta_{SA-CC} = \theta_{CC} - \theta_{SA} = 4.856 \text{ rad.}$$

Tener en cuenta que al ser la carta de admitancias, el cortocircuito se encuentra en  $y = \infty$

- En longitudes de onda:

$$\lambda_{SA-CC} = 0.386 \lambda$$



# Adaptación: stub simple, 1° solución, CA

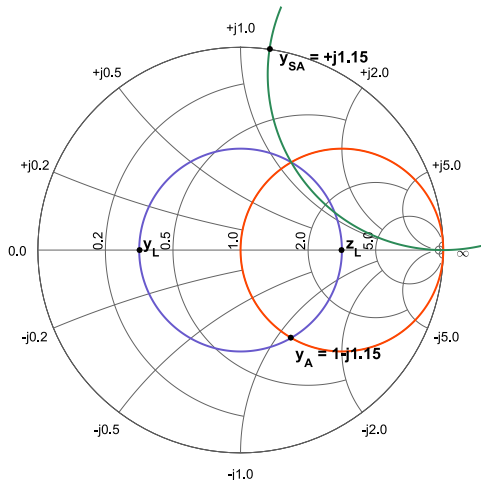
## Longitud del stub

- Para el stub en circuito abierto, el cambio de fase

$$\theta_{SA-CA} = \theta_{CA} - \theta_{SA} = 1.714 \text{ rad.}$$

Circuito abierto en  $y = 0$

- En longitudes de onda:  
 $\lambda_{SA-CA} = 0.136 \lambda$



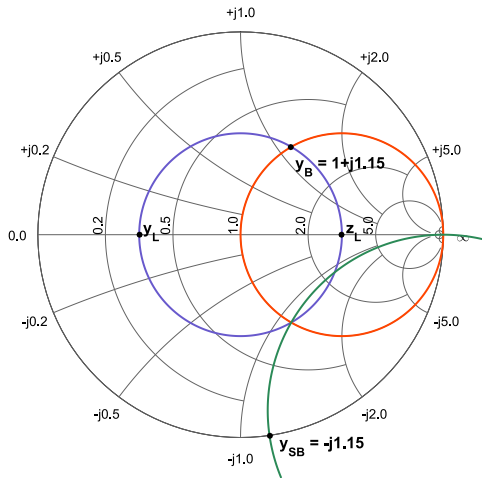
# Adaptación: stub simple, 2° solución

## Longitud del stub

Para la segunda solución se procede de manera similar: se encuentra la admitancia  $y_{SB}$  que debe tener el stub, y se calcula su largo de acuerdo a la terminación del mismo (circuito abierto o cortocircuito).

$$\lambda_{SB-CC} = 0.114 \lambda$$

$$\lambda_{SB-CA} = 0.364 \lambda$$



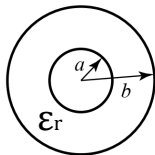
# Adaptación: stub simple

## Tarea 2

Adapte una carga de  $Z_L = 100 + j75 \Omega$  a una línea de transmisión de  $300 \Omega$  utilizando la técnica del stub simple en paralelo. Utilice como criterio de diseño que la distancia de la carga al stub sea la mínima posible y que la longitud del stub también sea la mínima posible.



# Implementación de stubs con líneas coaxiales



Para implementar una línea coaxial en MATLAB se utiliza la siguiente sintaxis:

```
1 tx0 = rfckt.coaxial ('OuterRadius',b,'InnerRadius',a, ...  
    'EpsilonR',er,'LineLength',l,'LossTangent',tanD);
```

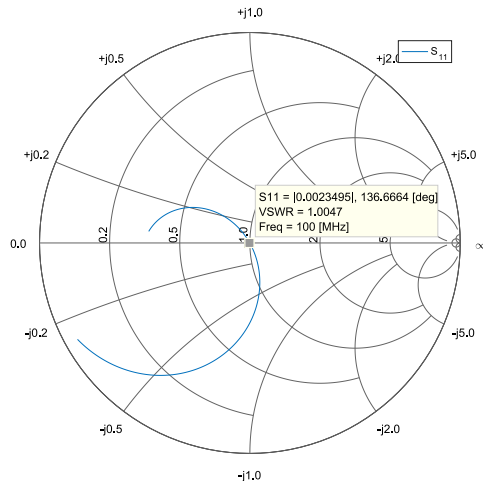
Para los stubs, se debe agregar la propiedad correspondiente:

```
1 tx_s1 = rfckt.coaxial ('OuterRadius',b,'InnerRadius',a,'EpsilonR',er, ...  
    'LineLength',l, 'LossTangent',tanD,'StubMode','Shunt', ...  
    'Termination','Short');
```

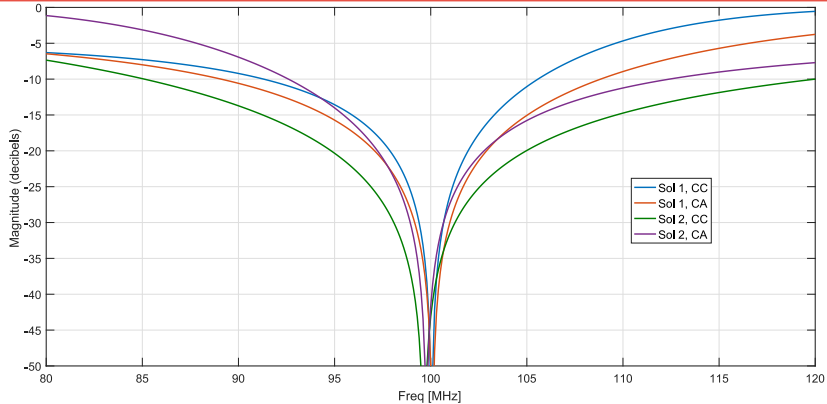
# Implementación de stubs con líneas coaxiales

Luego de generar los segmentos de coaxial en base a las dimensiones de algún cable comercial de  $50\ \Omega$  (por ejemplo, RG-58), se genera el objeto `rfckt.cascade` y se analiza el conjunto:

```
1 stub1CC = rfckt.cascade('Ckts', ...  
    {tx_s1,tx0,Zload});  
2 analyze(stub1CC,f);  
3 smith(stub1CC,'S11');
```



# Comparativa

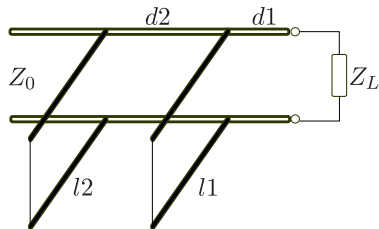


$\lambda_A$	$\lambda_{SA-CC}$	$\lambda_{SA-CA}$	$\lambda_B$	$\lambda_{SB-CC}$	$\lambda_{SB-CA}$
$0.333 \lambda$	$0.386 \lambda$	$0.136 \lambda$	$0.167 \lambda$	$0.114 \lambda$	$0.364 \lambda$

## Adaptación: stub doble en paralelo

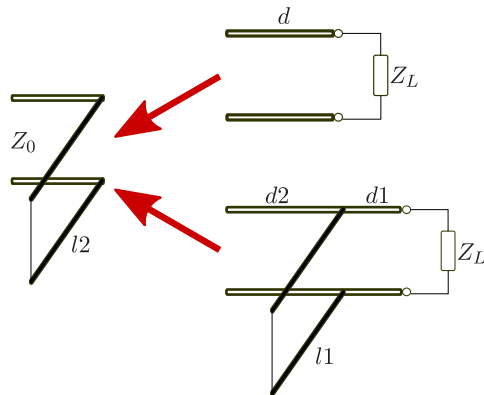
En la adaptación con 2 stubs, las distancias  $d1$  y  $d2$  generalmente están fijas y las variables de diseño son las longitudes de los stubs,  $l1$  y  $l2$ .

De esta forma, si la carga varía, se pueden encontrar nuevas dimensiones para los stubs y mantener la adaptación.



# Adaptación: stub doble en paralelo

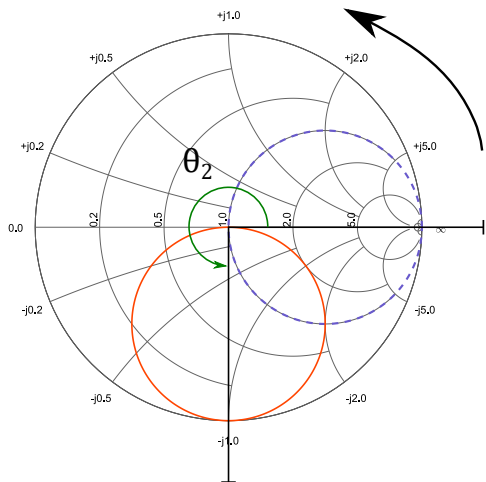
En la posición donde se aplica el segundo stub, se puede analizar como una adaptación con stub simple: la admitancia de entrada es  $y_3 = 1 \pm jB_3$ , y la longitud del stub  $l_2$  se elige para anular la susceptancia de  $y_3$ , que se encuentra sobre el círculo de conductancia  $G = 1$ .



## Adaptación: stub doble en paralelo

La distancia  $d_2$  que existe hasta el primer stub se comporta como una rotación de este círculo dentro del ábaco, en un ángulo  $\theta_2$  con sentido hacia la carga.

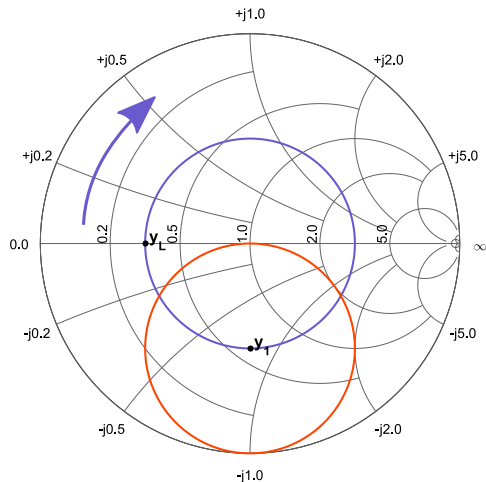
En la figura, el **círculo auxiliar** para una distancia entre stubs de  $3/8 \lambda$ . La admitancia de entrada  $y_2$  en este punto, con el primer stub colocado, se debe encontrar sobre el círculo auxiliar.



# Adaptación: stub doble en paralelo

## Ejercicio 3, TP 5 ( $Z_L = 150 \Omega$ , $d_1 = 3/8 \lambda$ )

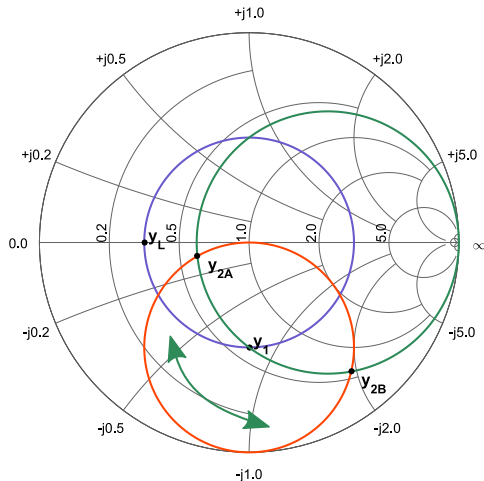
- La admitancia de carga normalizada  $y_L = 0.33$  se mueve por el círculo de  $|\Gamma_L| = 0.5$  hasta  $y_1 = 0.6 - j0.8$ , en una cantidad  $\lambda_1$  dada por la distancia  $d_1$ .
- Agregando el primer stub, se lleva la admitancia  $y_1$  hasta  $y_2$ , por el círculo de conductancia constante  $G = \text{Re}(y_1)$  hasta alcanzar el círculo auxiliar. Existen dos soluciones:
  - 1  $y_{2A} = 0.6 - j0.083$ ,
  - 2  $y_{2B} = 0.6 - j1.916$ .



## Adaptación: stub doble en paralelo

### Ejercicio 3, TP 5 ( $Z_L = 150 \Omega$ , $d_1 = 3/8 \lambda$ )

- La admitancia de carga normalizada  $y_L = 0.33$  se mueve por el círculo de  $|\Gamma_L| = 0.5$  hasta  $y_1 = 0.6 - j0.8$ , en una cantidad  $\lambda_1$  dada por la distancia  $d_1$ .
- Agregando el primer stub, se lleva la admitancia  $y_1$  hasta  $y_2$ , por el círculo de conductancia constante  $G = \text{Re}(y_1)$  hasta alcanzar el círculo auxiliar. Existen dos soluciones:
  - $y_{2A} = 0.6 - j0.083$ ,
  - $y_{2B} = 0.6 - j1.916$ .

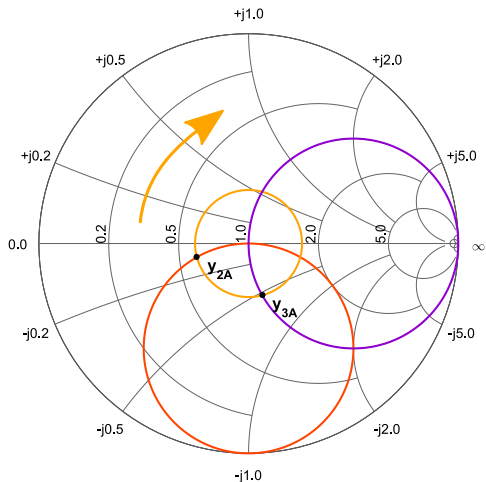




# Adaptación: stub doble, 1º solución

## Ejercicio 3, TP 5 ( $Z_L = 150 \Omega$ , $d_1 = 3/8 \lambda$ )

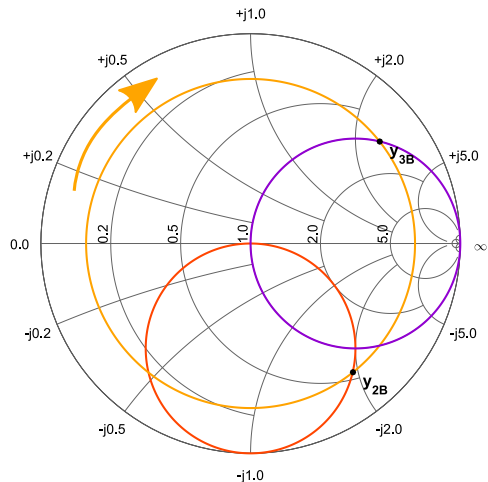
- Realizando el desplazamiento  $\lambda_2$  dado por la distancia  $d_2$ , la admitancia  $y_{2A}$  se mueve por el círculo de  $|\Gamma_{2A}| = 0.26$  hasta  $y_{3A} = 1 - j0.527$ .
- Dado que el círculo auxiliar es el círculo de  $R = 1$  rotado  $\lambda_2$  hacia la carga, cuando nos movemos desde la carga al generador la admitancia  $y_{3A}$  cae sobre el círculo unitario.



## Adaptación: stub doble, 2° solución

### Ejercicio 3, TP 5 ( $Z_L = 150 \Omega$ , $d_1 = 3/8 \lambda$ )

- Si la solución elegida hubiera sido la segunda, al realizar la rotación de  $\lambda_2$  la admitancia  $y_{2B}$  se movería por el círculo de  $|\Gamma_{2B}| = 0.78$  hasta  $y_{3B} = 1 + j2.527$ .



# Adaptación: stub doble, 1° solución

## Longitudes de los stubs

- 1 Para la primera solución, el stub 1 debe aportar:

$$y_{s11} = y_{2A} - y_1 = j0.717$$

$$\lambda_{s11} = 0.349\lambda$$

- 2 El stub 2, en tanto, agrega una susceptancia de:

$$y_{s12} = -\text{Im}(y_{3A}) = j0.527$$

$$\lambda_{s12} = 0.327\lambda$$

# Adaptación: stub doble, 1° solución

## Longitudes de los stubs

- 1 Para la primera solución, el stub 1 debe aportar:

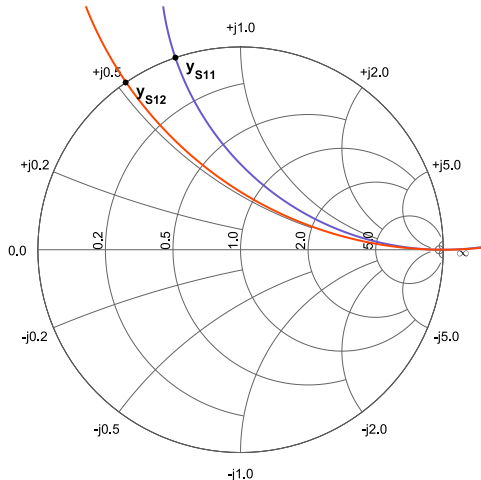
$$y_{s11} = y_{2A} - y_1 = j0.717$$

$$\lambda_{s11} = 0.349\lambda$$

- 2 El stub 2, en tanto, agrega una susceptancia de:

$$y_{s12} = -\text{Im}(y_{3A}) = j0.527$$

$$\lambda_{s12} = 0.327\lambda$$



# Adaptación: stub doble, 2° solución

## Longitudes de los stubs

- 1 Para la segunda solución, el stub 1 aportará:

$$y_{s21} = y_{2B} - y_1 = -j1.116$$

$$\lambda_{s21} = 0.116\lambda$$

- 2 El stub 2, en tanto, agrega una susceptancia de:

$$y_{s22} = -\text{Im}(y_{3B}) = j2.527$$

$$\lambda_{s22} = 0.06\lambda$$

# Adaptación: stub doble, 2° solución

## Longitudes de los stubs

- 1 Para la segunda solución, el stub 1 aportará:

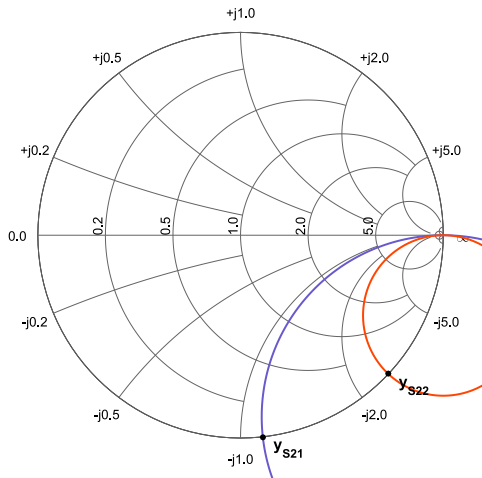
$$y_{s21} = y_{2B} - y_1 = -j1.116$$

$$\lambda_{s21} = 0.116\lambda$$

- 2 El stub 2, en tanto, agrega una susceptancia de:

$$y_{s22} = -\text{Im}(y_{3B}) = j2.527$$

$$\lambda_{s22} = 0.06\lambda$$



# Adaptación: stub doble

## Intersecciones entre círculos

Para encontrar los puntos  $y_{2A}$  e  $y_{2B}$  nuevamente se puede usar la función `imped_match_find_circle_intersections_helper`, para lo cual es necesario obtener los centros y radios del círculo auxiliar y del círculo  $G = \text{Re}(y_1)$ . Una forma es copiar los valores en  $x$  e  $y$  de cada círculo, y operar con ellos.

```
1 [h1,hsm1] = circle(adapt,f0,'R',real(y1));  
2 x1 = h1.XData;  
3 y1 = h1.YData;
```

# Adaptación: stub doble

## Tarea 3

Adapte una carga de  $150 \Omega$  a una línea de  $50 \Omega$  utilizando la técnica de dos stubs en paralelo, colocando el primer stub a  $0.375 \lambda$  desde la carga y con una separación entre ambos de  $\lambda/8$ . Implemente ambos stubs en circuito abierto.



# Referencias

- [Mat16] MathWorks. *RF Toolbox: User's Guide (R2016a)*. The MathWorks, Natick, MA, USA, 2016.
- [Poz05] David M Pozar. *Microwave engineering; 3rd ed*. Hoboken, NJ: Wiley, 2005.